

lesions were exclusively limited to the hippocampus and amygdala. In this regard, similar clinical cases with acute encephalitis have accumulated in Japan, as shown in Table 1 [1,4,5,7,8,10]. Many cases with this type of encephalitis showed good prognosis, although patients died because of uncontrollable generalized seizures during the clinical course. It is likely that our case showed the neuropathological changes of non-herpetic acute limbic encephalitis as a possible clinicopathological new entity.

### Acknowledgements

The authors gratefully acknowledge Dr. Tetsutaro Sata, Department of Pathology, National Institute of Infectious Disease, and Dr. Makoto Shibuya, Department of Pathology, Tokai University Hachioji Hospital for performing immunohistochemistry; Drs. Masakatsu Motomura and Hirokazu Shiraishi, First Department of Internal Medicine Graduate School of Biomedical Sciences Nagasaki University for measurement of the antibodies against voltage-gated potassium channels and P/Q-type voltage-gated calcium channels; Dr. Satoshi Kamei, Division of Neurology, Department of Medicine, Nihon University School of Medicine for valuable comments.

### References

- [1] K. Asaoka, H. Shoji, S. Nishizaka, M. Ayabe, T. Abe, N. Ohori, T. Ichiyama, Y. Eizuru, Non-herpetic acute limbic encephalitis: cerebrospinal fluid cytokines and magnetic resonance imaging findings, *Intern. Med.* 43 (2004) 42–48.
- [2] J. Dalmau, F. Graus, Paraneoplastic syndromes of the nervous system, in: P.M. Black, J.S. Loeffler (Eds.), *Cancer of the Nervous System*, Blackwell Scientific, Cambridge, MA, 1997, pp. 674–700.
- [3] S. Kamei, Acute juvenile female non-herpetic encephalitis (AJFNHE), *Shinkei Kenkyu no Shinpo* 48 (2004) 827–836 (in Japanese with English abstract).
- [4] I. Kohira, T. Shohmori, S. Kuroda, A. Kanzaki, H. Higashi, Y. Higashi, S. Higashi, A. Handa, K. Kinoshita, K. Terasaka, H. Sugatani, T. Higashi, A case of encephalitis with MRI abnormalities localized in the bilateral amygdala and hippocampus, *No to Shinkei* 44 (1992) 649–653 (in Japanese with English abstract).
- [5] T. Kusuhara, H. Shoji, M. Kaji, M. Ayabe, H. Hino, Non-herpetic acute limbic encephalitis, *Rinsho Shinkeigaku* 34 (1994) 1083–1088 (in Japanese with English abstract).
- [6] S. Love, C.A. Wiley, Viral diseases, in: D.I. Graham, P.L. Lantos (Eds.), *Greenfield's Neuropathology*, vol. 2, Seventh ed., Edward Arnold, London, 2002, pp. 1–105.
- [7] T. Maki, Y. Kokubo, S. Nishida, H. Suzuki, S. Kuzuhara, An autopsy case of non-herpetic limbic encephalitis, *Neuropathology* 24 (2004) A27 (Abstract ID-15).
- [8] M. Nonaka, N. Ariyoshi, T. Shonai, M. Kashiwagi, T. Imai, S. Chiba, H. Matsumoto, CT perfusion abnormalities in a case of non-herpetic acute limbic encephalitis, *Rinsho Shinkeigaku* 44 (2004) 537–540 (in Japanese with English abstract).
- [9] H. Shoji, M. Ayabe, K. Sakai, Non-herpetic acute limbic encephalitis, *Shinkei Kenkyu no Shinpo* 48 (2004) 821–826 (in Japanese with English abstract).
- [10] T. Takahashi, S. Kamei, K. Miki, K. Ogawa, T. Mizutani, The analysis of cytokines in cerebrospinal fluid (CSF) in two cases of non-herpetic acute limbic encephalitis (NHALE), *Rinsho Shinkeigaku* 43 (2003) 162–169 (in Japanese with English abstract).
- [11] Y. Takahashi, H. Mori, M. Mishina, M. Watanabe, T. Fujiwara, J. Shimomura, H. Aiba, T. Miyajima, Y. Saito, A. Nezu, H. Nishida, K. Imai, N. Sakaguchi, N. Kondo, Autoantibodies to NMDA receptor in patients with chronic forms of epilepsy partialis continua, *Neurology* 61 (2003) 891–896.
- [12] A. Vincent, C. Buckley, J.M. Schott, I. Baker, B.-K. Dewar, N. Detert, L. Clover, A. Parkinson, C.G. Bien, S. Omer, B. Lang, M.N. Rossor, J. Palace, Potassium channel antibody-associated encephalopathy: a potentially immunotherapy-responsive form of limbic encephalitis, *Brain* 127 (2004) 701–712.

Toshiki Uchihara · Ayako Nakamura · Yoko Mochizuki  
Masaharu Hayashi · Satoshi Orimo · Eiji Isozaki  
Toshio Mizutani

## Silver stainings distinguish Lewy bodies and glial cytoplasmic inclusions: comparison between Gallyas-Braak and Campbell-Switzer methods

Received: 1 May 2005 / Revised: 17 May 2005 / Accepted: 17 May 2005 / Published online: 8 July 2005  
© Springer-Verlag 2005

**Abstract** Lewy bodies (LBs) of idiopathic Parkinson's disease and glial cytoplasmic inclusions (GCIs) of multiple system atrophy are pathological deposits both composed of phosphorylated  $\alpha$ -synuclein woven into different filaments. Although both LBs and GCIs are considered to be hallmarks for each independent synucleinopathy, until now they could not be clearly distinguished on the basis of their biochemical or immunohistochemical features. We have examined possible differences in their argyrophilic features and their relation to synuclein-like or ubiquitin-like immunoreactivity (IR). Pairs of mirror sections from different brain areas were triple-fluorolabeled with an anti- $\alpha$ -synuclein antibody, an anti-ubiquitin antibody and thiazin red (TR), a fluorochrome that labels fibrillary structures such as Lewy bodies or neurofibrillary tangles. One of the paired sections was subsequently stained using the Campbell-Switzer method (CS), and the other by the Gallyas-Braak method (GB). By comparing of the same microscopic field on the paired fluorolabeled sections, subsequently silver-stained with either CS or GB, five different profiles of each structure could be determined:  $\alpha$ -synuclein-like IR, ubiquitin-like IR,

affinity to TR, argyrophilia with CS or GB. GCIs exhibited argyrophilia with both CS and GB but lacked affinity to TR. In contrast, LBs exhibited argyrophilia with CS but not with GB and some affinity to TR. These disease-specific profiles of argyrophilia were consistent, and were not influenced by areas or cases examined. Although immunohistochemical features of LBs and GCIs were similar in exhibiting IR for  $\alpha$ -synuclein and ubiquitin, the contrast in their argyrophilic profiles may indicate possible differences in the molecular composition or conformation of  $\alpha$ -synuclein. Even though these empirical differences still remain to be explained, awareness of this clear distinction is potentially of diagnostic and pathological relevance.

**Keywords** Argyrophilia · Campbell-Switzer · Diagnosis · Gallyas-Braak ·  $\alpha$ -Synuclein

### Introduction

Lewy bodies (LBs) of Parkinson's disease (PD) and glial cytoplasmic inclusions (GCIs) of multiple system atrophy (MSA) are pathological deposits containing phosphorylated  $\alpha$ -synuclein as one of their major constituents [5]. These diseases are grouped under the name "synucleinopathies" based on the assumption that LBs and GCIs share common mechanism for  $\alpha$ -synuclein deposition [7]. Indeed, biochemical and immunohistochemical features of these deposits look so alike that a clear distinction between the two types of deposits using these methods is still difficult.

Another method to identify these deposits is silver staining [2, 15]. Our previous studies on argyrophilic features of sporadic degenerative tauopathies demonstrated that silver staining profiles are closely related to tau deposits in a disease- or isoform-specific fashion. Deposits containing mainly three-repeat (3R) tau, such as Pick bodies [23], are labeled by Campbell-Switzer silver staining method (CS) [4, 16]. In contrast, those

T. Uchihara (✉) · A. Nakamura  
Department of Neuropathology, Tokyo Metropolitan Institute for Neuroscience, 2-6 Musashi-dai, Fuchu, 183-8526 Tokyo, Japan  
E-mail: uchihara@tmn.ac.jp  
Tel.: +81-42-3253881 ext 4712  
Fax: +81-42-3218678

Y. Mochizuki · T. Mizutani  
Department of Pathology,  
Tokyo Metropolitan Neurological Hospital,  
Tokyo, Japan

M. Hayashi  
Department of Clinical Neuropathology,  
Tokyo Metropolitan Institute for Neuroscience, Tokyo, Japan

S. Orimo  
Department of Neurology, Kanto Central Hospital, Tokyo, Japan

E. Isozaki  
Department of Neurology,  
Tokyo Metropolitan Neurological Hospital, Tokyo, Japan

containing mainly four-repeat (4R) tau, as seen in corticobasal degeneration (CBD)/progressive supranuclear palsy (PSP) [21] and argyrophilic grains [22], are silver-stained using the Gallyas-Braak method (GB) [3, 6]. Neurofibrillary tangles of Alzheimer type, containing both 3R and 4R tau, are stained with both CS and GB [21, 22, 23]. These findings led us to conclude that 3R tau deposits are related to CS and 4R tau deposits to GB. It means that each method of silver staining exhibits argyrophilia in different ways and potentially represents underlying molecular or "qualitative" differences.

Expecting that similar qualitative differences, distinguishable with silver staining, may be present among  $\alpha$ -synuclein-positive deposits, we were prompted to examine their argyrophilic profiles with CS and GB. This is the first study demonstrating disease-specific profiles of argyrophilia in synucleinopathies.

## Materials and methods

Six cases of MSA and five cases of PD were enrolled into this study. Demographic data on these cases are shown in Table 1. Clinical diagnosis of PD was based on levodopa-responsive parkinsonism with tremor, rigidity, and bradykinesia, and was confirmed pathologically in all the cases by the presence of LBs and neuronal depletion in the substantia nigra, locus ceruleus and dorsal motor nucleus of vagus. Clinical diagnosis of MSA was differentiated from PD by concomitant ataxia (with cerebellar atrophy demonstrated by brain imaging), marked pyramidal signs and profound autonomic dysfunction. Pathological confirmation of MSA was based on the degeneration in the putamen, substantia nigra, pons, inferior olive and cerebellum and the presence of GCIs [12, 13].

Brains were fixed in formalin and embedded in paraffin. Areas rich in  $\alpha$ -synuclein-positive deposits (motor cortex, putamen, pontine nucleus and cerebellum for MSA; limbic cortex, nucleus basalis of Meynert, amygdala, midbrain and medulla oblongata for PD) were examined for their argyrophilia with GB and CS on adjacent sections.

In addition, mirror section pairs (4  $\mu\text{m}$  thick) from these areas were subjected to subsequent studies to

identify possible relation between  $\alpha$ -synuclein-like immunoreactivity (IR), ubiquitin-like IR and argyrophilia. Pairs of mirror sections were autoclaved and incubated at 4°C for 2 days with a mixture of an anti-synuclein mouse monoclonal antibody (1:200, LB509; a generous gift from Prof. T Iwatsubo, University of Tokyo [11]) and an anti-ubiquitin rabbit polyclonal antibody (DAKO, Glostrup, Denmark) and the target epitopes were visualized with an anti-mouse IgG conjugated with Alexa 488 (1:200; Molecular Probes, Eugene, OR) and an anti-rabbit IgG conjugated with Alexa 647 (1:200; Molecular Probes). Sections were then incubated with thiazin red (TR; 1:30,000; Wako, Tokyo, Japan), a fluorochrome that labels fibrillary structures such as LBs [14] or NFTs [18, 19] for 15 min. After being observed under a confocal microscope (Leica TCS/SP, Heidelberg, Germany), one of the section pair was stained with GB [3, 6] and the other with CS [4, 16] to compare argyrophilic properties of each  $\alpha$ -synuclein-, ubiquitin- or TR-positive structure. Identification of the same microscopic field on the fluorescence images ( $\alpha$ -synuclein, ubiquitin and TR) and on the corresponding silver-stained (GB and CS) pair-wise images allowed us to compare staining profiles of each structure based on five different properties;  $\alpha$ -synuclein IR, ubiquitin IR, affinity to TR, argyrophilia with GB and that with CS [21, 22, 23].

## Results

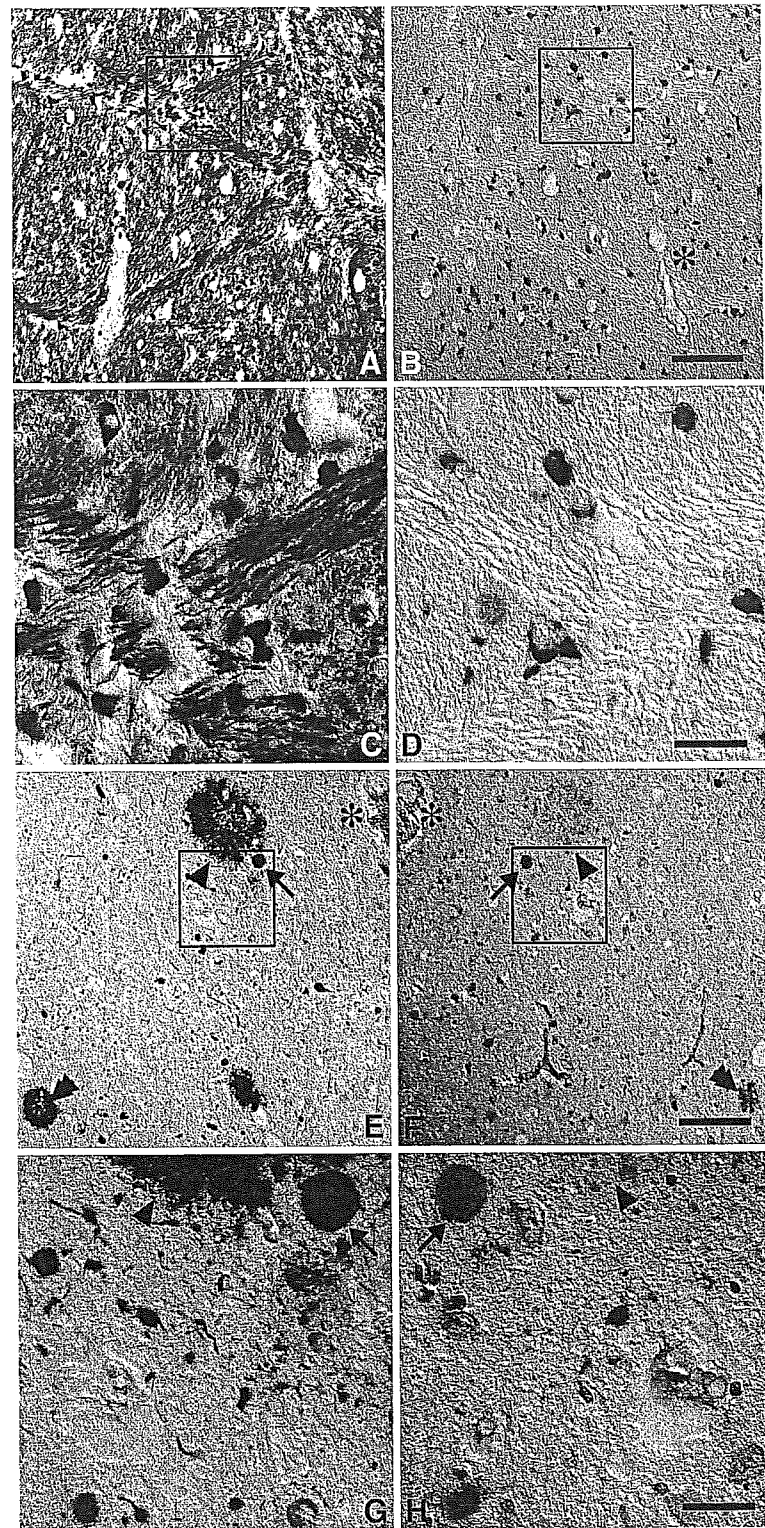
GCI exhibited argyrophilia with both CS (Fig. 1A, C) and GB (Fig. 1B, D) to an equivalent extent. Argyrophilia of LBs were clearly detectable with CS (Fig. 1E, G). However, LBs identified on GB-stained sections (Fig. 1F, H) were, at most, weakly argyrophilic (arrow in Fig. 1F, H). These argyrophilic features were consistent and were not influenced by the case or area examined.

Relation of these argyrophilic structures to  $\alpha$ -synuclein-like IR and ubiquitin-like IR was examined on paired sections that were initially fluorolabeled and then silver stained (Fig. 2). On the triple-fluorolabeled sections from MSA patients (Fig. 2a-d), most GCIs exhibited  $\alpha$ -synuclein-like IR (green) and ubiquitin-like

**Table 1** Demographic data of the cases (MSA multiple system atrophy, PD Parkinson's disease)

Pathological diagnosis	Clinical diagnosis	Age at death (years)	Duration (years)	Gender	Brain weight (g)
MSA	MSA	47	11	M	1460
MSA	MSA	57	6	F	1138
MSA	MSA	58	7	M	1318
MSA	MSA	60	14	M	1239
MSA	MSA	64	20	M	1059
MSA	MSA	74	4	M	1285
PD	PD	60	20	F	1146
PD	PD	65	4	M	1067
PD	PD	73	4	F	1335
PD	PD	74	2	M	1320
PD	PD	78	4	M	1320

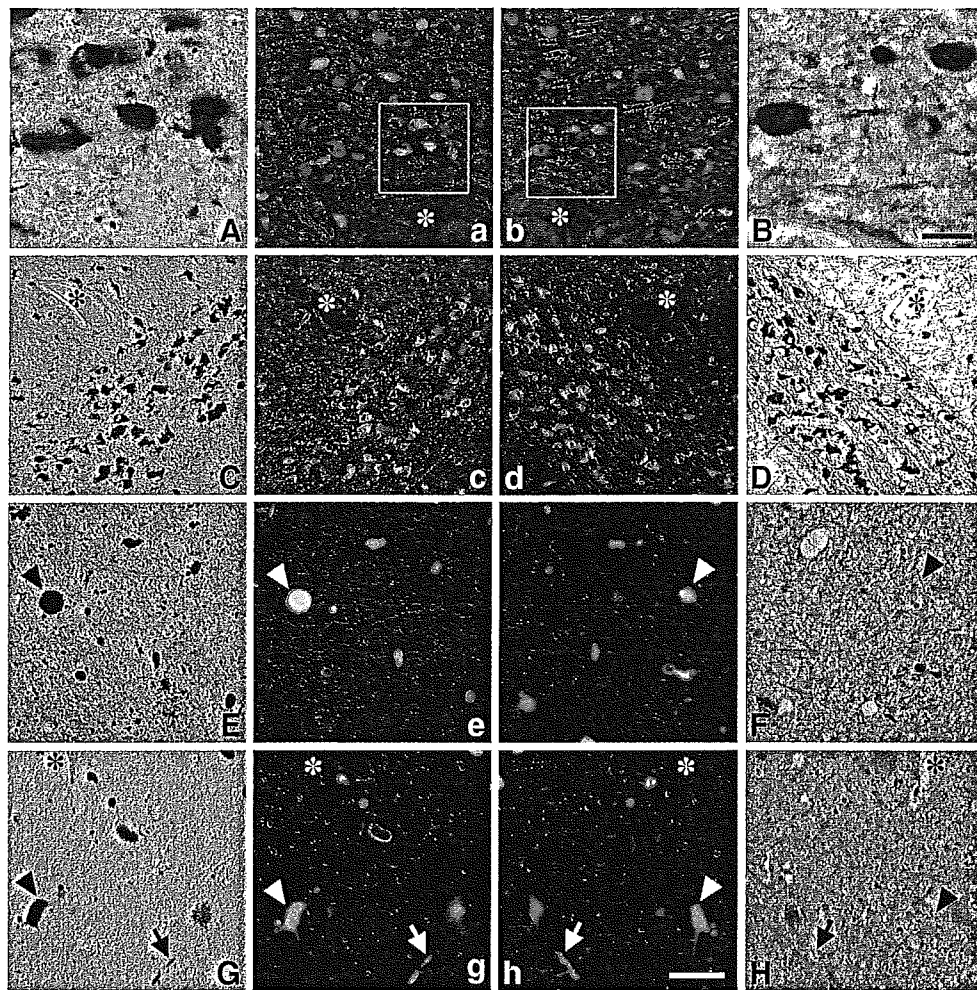
**Fig. 1** Silver-stained mirror sections (left column: with CS; right column: with GB) of MSA (A–D) and of PD (E, F). GCIs in the internal capsule are stained with CS (A, C). Those in the mirror section pair are similarly stained with GB (B, D). C, D Higher magnification of the corresponding squared area in A and B, respectively. LBs in the amygdala are stained with CS (arrow in E, G) but hardly stained with GB (arrow in F, H). Neuritic plaque is stained with CS (double arrowhead in E) and with GB (double arrowhead in F), while the diffuse plaque, stained with CS (arrowhead in E, G), is not with GB (arrowhead in F, H). Asterisk in A, B and that in E, F indicate the same blood vessels in paired mirror sections (CS Campbell-Switzer method, GB Gallyas-Braak method, MSA multiple system atrophy, PD Parkinson's disease, GCIs glial cytoplasmic inclusions, LBs Lewy bodies). Bars A, B, E, F 100  $\mu$ m; C, D, G, H 25  $\mu$ m



IR (blue) to yield blue-green color. No affinity to TR (red) was detectable even when the detection threshold was lowered enough to give background myelin staining. Therefore, none of the GCIs appeared white with triple fluorolabeling. Subsequent silver staining of these section pairs demonstrated that GCIs exhibited

argyrophilia with both CS (Fig. 2A, C) and GB (Fig. 2B, D) to a similar extent.

On the triple fluorolabeling of mirror section pairs from PD (Fig. 2e–h), most LBs exhibited synuclein-like IR (green) and ubiquitin-like IR (blue) to yield blue-green color. Some of these LBs appeared white as they



**Fig. 2** Triple-fluorolabeled mirror sections (a–g) stained for  $\alpha$ -synuclein (green), TR (red) and ubiquitin (blue), subsequently silver stained with CS (A, C, E, G) or GB (B, D, F, H). GCIs in the cerebellar white matter (A, a, b, B) exhibit  $\alpha$ -synuclein-like (green) and ubiquitin-like (blue) IRs, but the lack of affinity to TR (red), yielding a blue-green appearance in GCIs. These GCIs are silver stained with CS (A, higher magnification of the *squared area* in a) and GB (B, higher magnification of the *squared area* in b). GCIs in the putamen (C, c, d, D) exhibited similar IR and silver-staining profiles. LBs in the nucleus basalis of Meynert (E, e, f, F), are spherical and exhibit  $\alpha$ -synuclein-like (green) and ubiquitin-like

(blue) IRs and affinity to TR (red) to yield a whitish appearance (arrowhead in e, f). These LBs are stained with CS (arrowhead in E) but not with GB (arrowhead in F). LBs in the dorsal motor nucleus of vagus (arrowhead in G, g, h, H) are diverse in their morphology but their fluorescence signals (g, h) are similar to those from LBs in the nucleus basalis (e, f). Lewy neurites (arrow in G, g, h, H) share these staining profiles. These LBs (arrowhead), as well as Lewy neurites (arrow) are stained with CS (G) but not with GB (H). Asterisk in a, b, C, c, d, D, G, g, h, and H denotes the same blood vessel observed in paired mirror sections (TR thiazin red, IR immunoreactivity). Bars A, B 10  $\mu$ m; otherwise 50  $\mu$ m

also exhibited affinity to TR (red, arrowhead in Fig. 2e, f). All of these LBs, including Lewy neurites, were clearly stained with CS, regardless of their location (Fig. 2E, G). However, GB hardly visualized these structures (Fig. 2F, H).

## Discussion

LBs and GCIs are composed of similarly phosphorylated synuclein [5] woven into fibrils and diseases demonstrating these deposits are grouped under the title “synucleinopathies” [7] on the supposition that a common mechanism is involved in the formation of LBs and GCIs. Most of the biochemical and immunohistochem-

ical features related to  $\alpha$ -synuclein are shared between LBs and GCIs, and this is one of the reasons why immunohistochemical markers are not very successful in distinguishing the two different synuclein deposits. In the present study, we demonstrated that, using GB and CS, the argyrophilic properties of LBs and GCIs were distinct; i.e., GCIs exhibited argyrophilia with both CS and GB, whereas LBs were labeled by CS but not by GB. These disease-dependent argyrophilic features were consistent, and were not influenced by the case or area examined. We have previously reported that some LBs have an affinity to TR [14], a fluorochrome that labels fibrillary structures, such as NFTs [18, 17, 19]. Comparison of LBs and GCIs clarified that GCIs lacked affinity to TR. Since the differences in molecular com-

position between LBs and GCIs have not yet been clarified, at present we have no reasonable explanation for these empirical differences. One possibility is that a difference in the  $\alpha$ -synuclein molecule itself, or its modification, leads to a conformational state specific to LBs or GCIs, thereby exhibiting distinct argyrophilic property, affinity to TR and ultrastructure. As we reported previously, the argyrophilic properties of tau-positive deposits are linked to its isoform; tau-positive deposits containing mainly 4R tau, as seen in CBD/PSP [21] and AGs [22], are labeled with GB but not with CS, whereas those containing mainly 3R tau, as seen in Pick bodies, exhibit argyrophilia with CS but not with GB [23]. Because deposits containing 3R and 4R tau exhibit argyrophilia with both CS and GB, it is likely that those containing 3R tau are linked to argyrophilia with CS and those containing 4R tau deposits are linked to GB. Thus, it is possible that molecules associated with  $\alpha$ -synuclein may differ and yield different staining properties.

Although silver staining methods are useful tools in the diagnosis of neurodegenerative diseases [20], little is known regarding the mechanism of argyrophilia [8, 10]. It is interesting that the lack of argyrophilia with GB, as seen in LBs, is shared with Pick bodies [23]. Moreover, colocalization of  $\alpha$ -synuclein and tau epitopes is frequent in various degenerative processes [1], and these two proteins may interact during the formation of aggregates [9]. It is then possible that tau and synuclein undergo similar conformational changes to be detected with CS but not with GB, as seen in Pick bodies and LBs. Even though, the empirical distinction based on these argyrophilic profiles is of help in the histological diagnosis of synucleinopathies, the mechanism responsible for these changes *in vivo* still need to be determined. Another advantage of these silver stainings is that they will give, at lower cost, more consistent results than immunohistochemistry, especially when dealing with old archival sections [15]. Furthermore, identities of LBs and GCIs are frequently confounded in experimental paradigms by grouping them as synuclein-positive aggregates without discriminating them. Although the molecular identities of LBs and of GCIs remain to be clarified, defining these inclusions based on various methods, such as with silver staining, is of great advantage because other biochemical or immunohistochemical features fail to discriminate these two distinct  $\alpha$ -synuclein-positive inclusions. It is obvious that further studies are needed to identify possible differences in the molecular composition of LBs and GCIs. At present, silver staining profiles, possibly distinctive and representative of each type of inclusions, provide a unique method of classifying not only tau-related but also  $\alpha$ -synuclein-related deposits, which may be helpful in diagnosing and understanding synucleinopathies and tauopathies.

**Acknowledgements** Supported in part by the grant from the Ministry of Education, Culture, Sports, Science and Technology (grant in aid for scientific research B15300118) to T.U.

## References

1. Arima K, Hirai S, Sunohara N, Aoto K, Izumiya Y, Ueda K, Ikeda K, Kawai M (1999) Cellular co-localization of phosphorylated tau- and NACP/alpha-synuclein-epitopes in Lewy bodies in sporadic Parkinson's disease and in dementia with Lewy bodies. *Brain Res* 843:53–61
2. Braak E, Braak H (1999) Silver staining method for demonstrating Lewy bodies in Parkinson's disease and argyrophilic oligodendrocytes in multiple system atrophy. *J Neurosci Methods* 87:111–115
3. Braak H, Braak E, Ohm TG, Bohl J (1988) Silver impregnation of Alzheimer's neurofibrillary changes counterstained for basophilic material and lipofuscin pigment. *Stain Technol* 63:197–200
4. Campbell SK, Switzer RC, Martin TL (1987) Alzheimer's plaques and tangles: a controlled and enhanced silver staining method. *Soc Neurosci Abstr* 13:67
5. Fujiwara H, Hasegawa M, Dohmae N, Kawashima A, Masliah E, Goldberg MS, Shen J, Takio K, Iwatsubo T (2002) alpha-Synuclein is phosphorylated in synucleinopathy lesions. *Nat Cell Biol* 4:160–164
6. Gallyas F (1971) Silver staining of Alzheimer's neurofibrillary changes by means of physical development. *Acta Morphol Acad Scient Hung* 19:1–8
7. Galvin JE, Lee VM, Trojanowski JQ (2001) Synucleinopathies: clinical and pathological implications. *Arch Neurol* 58:186–190
8. Gambetti P, Autilio-Gambetti L, Papasozomenos SC (1981) Bodian's silver method stains neurofilament polypeptides. *Science* 213:1521–1522
9. Giasson BI, Forman MS, Higuchi M, Golbe LI, Graves CL, Kotzbauer PT, Trojanowski JQ, Lee VM (2003) Initiation and synergistic fibrillization of tau and alpha-synuclein. *Science* 300:636–640
10. Iqbal K, Braak E, Braak H, Zaidi T, Grundke-Iqbali I (1991) A silver impregnation method for labeling both Alzheimer paired helical filaments and their polypeptides separated by sodium dodecyl sulfate-polyacrylamide gel electrophoresis. *Neurobiol Aging* 12:357–361
11. Jakes R, Crowther RA, Lee VM, Trojanowski JQ, Iwatsubo T, Goedert M (1999) Epitope mapping of LB509, a monoclonal antibody directed against human alpha-synuclein. *Neurosci Lett* 269:13–16
12. Nakazato Y, Yamazaki H, Hirato J, Ishida Y, Yamaguchi H (1990) Oligodendroglial microtubular tangles in olivopontocerebellar atrophy. *J Neuropathol Exp Neurol* 49:521–530
13. Papp MI, Kahn JE, Lantos PL (1989) Glial cytoplasmic inclusions in the CNS of patients with multiple system atrophy (striatonigral degeneration, olivopontocerebellar atrophy and Shy-Drager syndrome). *J Neurol Sci* 94:79–100
14. Sakamoto M, Uchihara T, Hayashi M, Nakamura A, Kikuchi E, Mizutani T, Mizusawa H, Hirai S (2002) Heterogeneity of nigral and cortical Lewy bodies differentiated by amplified triple-labeling for alpha-synuclein, ubiquitin, and thiazin red. *Exp Neurol* 177:88–94
15. Sandmann-Keil D, Braak H, Okochi M, Haass C, Braak E (1999) Alpha-synuclein immunoreactive Lewy bodies and Lewy neurites in Parkinson's disease are detectable by an advanced silver-staining technique. *Acta Neuropathol* 98:461–464
16. Switzer RC III (1993) Silver staining methods: their role in detecting neurotoxicity. *Ann NY Acad Sci* 679:341–348
17. Uchihara T, Nakamura A, Yamazaki M, Mori O (2000) Tau-positive neurons in corticobasal degeneration and Alzheimer disease—Distinction by thiazin red and silver impregnation. *Acta Neuropathol* 100:385–389
18. Uchihara T, Nakamura A, Yamazaki M, Mori O (2001) Evolution from pretangle neurons to neurofibrillary tangles monitored by thiazin red combined with Gallyas method and double immunofluorescence. *Acta Neuropathol* 101:535–539

19. Uchihara T, Nakamura A, Yamazaki M, Mori O, Ikeda K, Tsuchiya K (2001) Different conformation of neuronal tau deposits distinguished by double immunofluorescence with AT8 and thiazin red combined with Gallyas method. *Acta Neuropathol* 102:462–466
20. Uchihara T, Ikeda K, Tsuchiya K (2003) Pick body disease and Pick syndrome. *Neuropathology* 23:318–326
21. Uchihara T, Shibuya K, Nakamura A, Yagishita S (2005) Silver stains distinguish tau-positive structures in corticobasal degeneration/progressive supranuclear palsy and in Alzheimer's disease—Comparison between Gallyas and Campbell-Switzer methods. *Acta Neuropathol* 109:299–305
22. Uchihara T, Tsuchiya K, Nakamura A, Akiyama H (in press) Argyrophilic grains are not always argyrophilic-Distinction from neurofibrillary tangles of diffuse neurofibrillary tangles with calcification revealed by comparison between Gallyas and Campbell-Switzer methods-. *Acta Neuropathol* DOI: 10.1007/s00401-005-1031-7
23. Uchihara T, Tsuchiya K, Nakamura A, Akiyama H (2005) Silver staining profiles distinguish Pick bodies from neurofibrillary tangles of Alzheimer type—Comparison between Gallyas and Campbell-Switzer methods. *Acta Neuropathol* 109:483–489

Neurological CPC・116

著しい中心前回の萎縮と注目すべき組織学的所見を伴う  
多系統萎縮症

山岡由美子 平井 健 川田 明広 磯崎 英治  
板東 充秋 望月 葉子 小森 隆司 内原 俊記  
小柳 清光 水谷 俊雄 林 秀明

脳 と 神 経

第57巻 第3号 別刷  
2005年3月1日 発行

医学書院

## 著しい中心前回の萎縮と注目すべき組織学的所見を伴う 多系統萎縮症\*

山岡由美子<sup>1)</sup> 平井健<sup>1)</sup> 川田明広<sup>1)</sup>  
 磯崎英治<sup>1)</sup> 板東充秋<sup>1)</sup> 望月葉子<sup>2,5)</sup>  
 小森隆司<sup>3)</sup> 内原俊記<sup>4)</sup> 小柳清光<sup>5)</sup>  
 水谷俊雄<sup>2)</sup> 林秀明<sup>1)</sup>

**Key words :** multiple system atrophy, progressive supranuclear palsy, corticobasal degeneration, precentral cortex, frontal lobe atrophy

### 症例呈示

司会(神経内科 川田) 今日は臨床的に多系統萎縮症(MSA)と診断された症例を取り上げます。それでは早速、主治医の山岡先生、症例の呈示をお願いします。

主治医(神経内科 山岡) 症例は死亡時65歳の女性です。65歳で急性胆嚢炎に罹患した既往があります。家族歴には特記すべきことはありません。現病歴ですが、1995年2月、つまずき易さで発症し、5月、左手の振戻、7月、呂律不良と立ちくらみ、8月、歩行時のふらつきが出現したため、当科外来を受診されました。同年9月、第1回入院し、左優位のparkinsonism、小脳失調、深部腱反射亢進、頭部MRI所見(橋横走線維の変性、小脳脳幹の萎縮、右優位の被殻の萎縮)から、MSAと診断されました。TRH(甲状腺刺激ホルモン)は無効でした。翌1996年、家事が困難となり、8月第2回の入院となりました。排尿検査でdetrusor-(external) sphincter dyssynergia(DSD)陽性、無抑制膀胱と診断されました。抗Parkinson病薬は無効で、杖歩行で退院されました。1998年、無動、構音障害、排尿障害などの悪化と夜間のいびきで同年4月第3回目の入院をされました。咽頭鏡(diazepam負荷なし)で声帯麻痺はみられませんでした。この時は

車椅子を使用していました。

2000年、嚥下障害が進行し、1月、第4回入院。経管栄養が開始されました。この後、膀胱カテーテルが留置されました。唾液や痰の吸引が頻繁になり、同年9月、第5回入院時に喉頭気管分離/食道喉頭吻合術を施行し、これによってミキサー食の経口摂取が可能となりました。術後の安静臥床によって両下肢は著明な屈曲拘縮となりました。また、覚醒時にも声門狭窄がみられました。2002年5月、発熱のため第6回入院。低Na血症(119 mEq/l)が判明し加療しました。

2003年、夜間の無呼吸と嚥下障害が増強したため6月入院。その時、仮面様顔貌、顔脂、強迫泣きがありました。ごく単純な内容に限って、時に表情が変わることがありましたが、実質的な意思疎通は困難でした。呼吸は浅く、数秒の無呼吸が頻繁に出現するため、酸素0.5 l/minを使用し、動脈血酸素飽和度95%前後に保ちました。酸素を中止すると酸素飽和度90%以上を維持できない状況でした。無動が強く、笑い顔になる時以外の自発的な運動は消失していました。首は後屈、両上肢は屈曲拘縮、両下肢は伸展位でした。上肢はcog-wheel rigidity、下肢と頸部はrigidospasticでした。Rhythmic myoclonus(静止時<姿勢時、上肢優位かつ左優位)が認められました。Jaw jerkは陽性、snout reflexも陽性でした。四肢深部腱反射は亢進していま

\* Multiple System Atrophy Characterized by Precentral Atrophy and Remarkable Histological Findings

<sup>1)</sup> 東京都立神経病院神経内科 <sup>2)</sup> 同 検査科病理診断部門 <sup>3)</sup> 東京都神経科学総合研究所臨床神経病理部門 <sup>4)</sup> 同 神経病理部門 <sup>5)</sup> 東京都北療育医療センター内科

[連絡先] 水谷俊雄: 東京都立神経病院検査科病理診断部門(〒183-0042 東京都府中市武蔵台2-6-1)

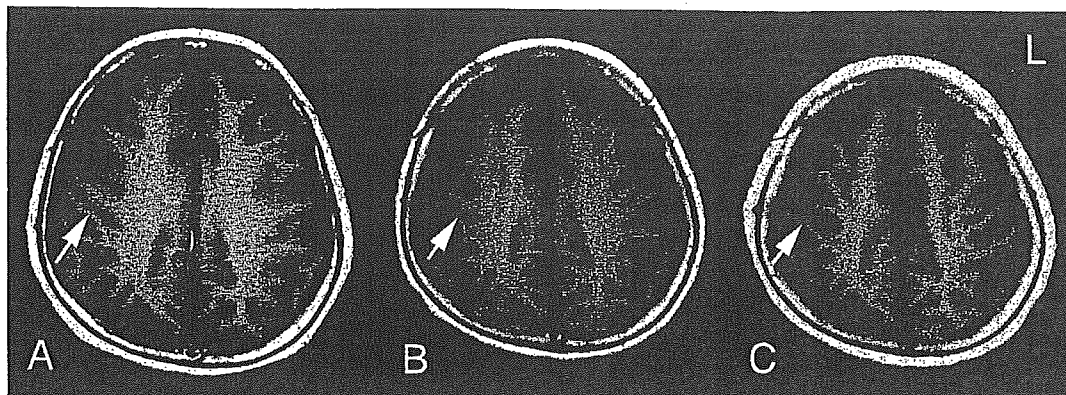


図1 中心前回のMRI画像 A:発症3年目(1998年),B:発症5年目(2000年),C:発症8年目(2003年)。Lは左側,矢印は中心溝。

したが、palmomenital, Hoffmann, Babinski の各反射は陰性、強制把握は両側陽性でした。喉頭気管分離/食道喉頭吻合術後状態で、経管栄養を行いました。6月12日、経皮的内視鏡的胃瘻造設術を行いました。その後、急性胆囊炎を併発したためSBT/CPZで加療し治癒しました。7月16日退院となりました(退院時Na 131 mEq/l, 経管食に食塩3g/日を添加)。

しかし、2003年7月28日から37℃台の発熱が出現し、無呼吸が増加しました。同月31日、突然酸素飽和度が60%に低下したため、酸素投与下で補助呼吸を施行しつつ府中病院に救急搬送されました。診察中、全身痙攣が出現し、diazepam静注施行後、当院ICUに第7回目の入院となりました。

入院時は呼吸停止状態でした。その後も左向き共同偏視を伴う右優位の全身痙攣が2回あり、除皮質硬直様肢位をとっていました。その後、微弱な自発呼吸と無呼吸を繰り返していましたが、17時頃から補助呼吸は不要となりました。低Na血症(115 mEq/l)による全身痙攣と考え、乳酸リンゲル液1,000 ml/日とdiazepam座薬を使用して様子を見ましたところ、呼吸状態がさらに回復し安定したため、9月22日退院となりました。

その後、発熱などのトラブルはありませんでしたが、2003年10月28日から無呼吸が増え、11月3日夜から呼吸が粗く不規則になり、11月5日午後から酸素飽和度が徐々に低下しました。家庭医が補助呼吸すると容易に酸素飽和度は正常化しましたが、翌日早朝から再び酸素飽和度が低下しまして、同日午前7時5分、家庭医により死亡が確認され、当院にて病理解剖が行われました。全経過約8年9カ月でした。

司会 続いて画像を説明していただけますか。

主治医 1995年の<sup>99m</sup>Tc-ECD SPECTですが、すでに中心溝領域に左優位に血流の低下の所見があります。1996年9月、発症1年7カ月のMRI所見です。これは1995年の所見と同じですが、既にT2強調画像で橋横走線維の変性、十字サインが認められています。それから、T2強調画像で両側被殻後方外側域の低信号と右側ではその外側に線状の高信号域がみられます。少し中心前回の信号強度が上がっているようにもみられますが、明確な萎縮はありません。被殻の変化は冠状断でより明確に認められています。次が1998年、発症3年目の所見です。小脳、脳幹の萎縮は進行し、十字サインや両側被殻の萎縮もより明確になっています。T2強調画像で中心溝の開大がはっきり認められます(図1A)。実質の信号強度の変化についてはequivocalと思われます。前頭葉の萎縮についてははっきりしませんが、側頭葉は若干萎縮傾向があると思います。T2強調画像の矢状断では脳幹全体の萎縮は認めますが、中脳被蓋の萎縮はないと思います。次は2000年、発症5年目のMRIでは、小脳脳幹の萎縮はより進行しています。被殻はかなり萎縮していて、側頭葉の萎縮もはっきりしてきています。中心溝も開大しています(図1B)。矢状断では脳幹の萎縮がより進行していますが、中脳被蓋の萎縮はどれかとれないかというところです。2002年、発症から7年目のMRIでは、より一層小脳脳幹の萎縮が進み、大脳の萎縮も進行して脳室が拡大してきています。被殻は線状になっています。大脳の萎縮は側頭葉優位、前頭葉は軽度で、中心溝は開大しています。中脳被蓋の萎縮ははっきりしません。同時期の2002年の<sup>99m</sup>Tc-ECD SPECTでは、中心溝領域の脳血流低下域が前頭葉方向に広がってきていると思われます。そし

て2003年、8年目のMRIでは、先ほどからお示ししている所見がより高度となっております(図1C)。以上です。

司会 ありがとうございました。以上が臨床経過と主な検査結果で、だいたい全ての臨床を呈示していただいたと思います。

### 鑑別診断

内原(神經研) 眼球運動障害があったようですが、疾患を鑑別できるような所見がありましたか。

主治医 眼球運動障害に関しては、最初に記載があったのは発症5年目で、垂直方向に上下とも3/5ということです。それ以前では、上方向に4/5という記載がたまにありますが、fullという記載が多かったです。次の入院の7年目はもう眼球が追視できないということで、oculocephalic reflexについては所見の記載がなかったのですが、上下方向の動きについては評価が困難な状況にあったということです。Oculocephalic reflexがみられていない状況で核性、核下性、核上性の区別は難しいかもしれません。それから、どの程度のattentionを払って上下に追視したかという問題もあるかと思いますが、カルテ上、一応、発症5年半後の2000年から記載があります。

内原 Babinski徵候の記載が1回だけありますね。MSAでは比較的陽性になる方が多いのかと思っていますが、この方の場合は他の錐体路徵候が早い時期にはっきりしているし、Babinski徵候だけがずっと陰性なのでしょうか。大脳皮質に病変がある症例はやはり錐体路徵候も起り方が違うのか、といったことも考えたりするんですが、記載上ではどうなっていますか。

主治医 ずっとマイナスです。ただし、非常に痙攣性が強くて尖足が硬いので、マスクされた可能性は否定できません。

司会 私も以前亡くなったMSAの患者さん37例くらいの方の経過をretrospectiveに追ったことがあるんですが、四肢深部腱反射の亢進はMCA-C型で84%でしたが、Babinski徵候の頻度はMCA-C型で89%、MCA-P型で84%と若干低いですね。また、経過中にBabinski徵候が陽性に出るという記載は確かにありますけど、その後消失したり、判定が困難になる場合が多くみられます。

内原 最後のほうでけいれんがみられていますが、そのetiologyというか、MSAに関連したものと考えてよいかどうか、ということをお尋ねしたいのですが。

主治医 全身けいれんについては低Na血症で説明可能かと思っております。その理由はNaを補正する

と消失するということに基づきます。

内原 けいれんも低Na血症で説明できるかもしれないけど、MSAでもありまするのでしょうか。

磯崎 反射性ミオクローヌスが重複し、statusの状態になるときれん発作のように見えることはあります。しかし、本当の意味のseizureというのは多くないと思います。一般的とは思えません。文献的にもあり言われていないと思いますが。川田先生いかがですか。

司会 ほとんど文献上での記載はないと思います。

望月 この方ではrhythmic myoclonusが出現していますが、これについてはどうでしょうか。

磯崎 Rhythmic myoclonusは表面筋電図で初めて分かることですが、見た目はですね、Parkinson病(PD)のtremorとまったく同じなんですね。それらとreflex myoclonus、すなわちstartle responseとは症候学的には全然違います。もちろん両方伴っている方もいますが、どちらが多いとか少ないかという目ではあまりみていません。機序はまだよく分かっていません。いずれにしても寝たきりになると出てくる症候には間違いないと思います。

司会 そうしますと、臨床経過と画像所見を併せて、特徴的なMSAの所見はあったと思いますけど、それ以外に当初から中心溝付近で血流が低下したこととか、その後それより前のほうの血流が低下していったこと、それから中脳被蓋あたりの萎縮についても言及されたわけですが、それらについてどう考えていましたでしょうか。

主治医 私が直接拝見しているのは2003年からですので、この前のことについてはカルテおよびサマリーを読むことしか情報としてはないのですが、全体の経過からみても、左優位のparkinsonismと小脳失調がかなり初期から高度で、失行とか失認という記載はありませんでした。そういうことで、中心溝の血流低下の意味は分かりませんが、MSAの典型的な像を呈しながらも、左優位の左右差がはっきりあったということで、これは少し変わっているなという印象を代々の主治医は持っていたようです。

院長 無動という表現がありますが、これはrigidityによって動きがとれないということですか、それともakinesiaですか。

主治医 Rigidityは初期から左優位に3/4くらいに認められていて、頸もかなり早い時期に4/4の記載がありますので、rigidityとakinesia両方による無動だと思って理解していました。

司会 この症例はretrocollisのような感じがあつた

のですが、磯崎先生、他のMSAの患者さんの体験ではどうでしょうか。

磯崎 Retrocollisはnonspecificというか、起こつておかしくないとは思います。画像をみると徐々に変な角度で撮られており、だんだんOM lineに平行には撮れなくなっている。ああいう画像をみるとやはり大なり小なりですね、retrocollisの傾向が出てくるんだと思います。

院長 Postureの変化がどこに起因しているかということですが、初めは安静臥床で両下肢は著明な屈曲拘縮となり、後になると両上肢屈曲、両下肢は伸展位に変わっているんですね。

主治医 最初は上肢屈曲、下肢伸展位で、術後のみ四肢屈曲位となり、その後術前の肢位に戻ったという経過です。

院長 2003年では頸が後に曲がって、両上肢屈曲で両下肢伸展位はその後、最後まであるんですね。

主治医 はい、ありました。

院長 両上肢の屈曲拘縮は後の除皮質硬直様肢位とイコールですか？

主治医 振り返ってみると、除皮質硬直様肢位というより両側性のWernicke-Mann肢位という印象です。

院長 Cortical atrophyなどMRIの経過を丁寧にみてくれていますので、posturalの変化がどこのlesionに関わりがあるのかと思いました。それから、嚥下障害と無呼吸の関係です。私はMSAでは呼吸と嚥下障害とは密接に関わりがあり、呼吸に関する障害は嚥下障害の進行に関わっている気がしていました。この場合、嚥下障害はかなり早くから進行していて、いびきはあるが声帯麻痺はないんですね。そうすると、全体的には嚥下障害が先行していて、後に呼吸障害が加わり、最終的にはapneicで亡くなったということでおろしいでしょうか。

主治医 その通りだと思います。

院長 開口の具合はどうでしたか。Jaw jerk亢進していますけど、これは初めからあったのでしょうか。いつもMSAの場合、議論されるのですが、口が開けにくいという理由の病理的背景を知るために、臨床的な確認をしたいのです。この方は口が開けられなくなったのはいつ頃からでしょうかね。経過が長いから分からぬでどうか。口が開く、開かないという開口障害の記載はいつ頃から分かりますか。嚥下障害が始まった頃でしょうか。

主治医 入院時にはjaw jerk(+)の記載です。口が開けられたから検査できたんだと思います。

小柳(神経研) 痴呆が緩徐に進行したとありますが、どういう症状が進行したのでしょうか。

主治医 コミュニケーションの障害が進行したということだと思います。筋萎縮性側索硬化症(ALS)の患者さんでは、身体の動きが悪くても瞬きとかジェスチャーである程度意思表示が出来る方もおられることと比べると、そういうことがどんどん出来なくなるということで痴呆が進行した可能性を歴代の主治医たちはみていたというふうに理解しています。ただし、カルテ上、本人や家族からは物忘れなどの痴呆を示唆するような訴えは少なく、病初期にはありませんでした。

司会 MSAの患者さんでは、コミュニケーションできないような状態というのは進行した状態ではかなり経験することではないかと思いますが、これについては大脳萎縮との関連で磯崎先生からコメントをいただきたいと思います。

磯崎 MSAでは、長期間経過すると大脳も萎縮してくることがすでに言われています。当院でも20年を越えるような長期経過の患者さんがおられます、そうした例での大脳萎縮や知的レベルはどの程度なのか、またそれ以外にもどのような臨床徴候が新たに出現てくるのか、などは以前から興味を持っておりましたので、この機会に少しまとめてみました。

そこで、まず大脳萎縮の程度を評価するため、頭部CTフィルムから前角指数(大脳萎縮の程度を示す指標で、前角外側の最長幅から前角内側の最長幅を減じ、それを頭蓋骨内板の最大径で除し、100倍した値。正常範囲は12以下)を算出し、それを経時にプロットしてみると、全体的には経過年数とともに徐々に大脳萎縮は進行しますが、中等度の萎縮に至るまでに10年以下と比較的短い例もあれば、25年という長期を要する例もあり、進行速度は様々です。大脳萎縮の強い群と軽い群という二つのグループがあるということではなく、むしろ様々な例がある、と解釈したほうがよいように思います。

次に、MSAの大脳萎縮に関連して、コミュニケーションがとれない状態を単純に痴呆と表現してよいのか、という点についても疑問がわいてきます。以下に述べる例は、私が十数年前に受け持った患者さんで、話をしていて何か「かみ合わない」という印象をもった例です。51歳のときに右下肢のひきずりおよび前傾・前屈姿勢にて発症し、発症4年目に当院にて線条体黒質変性症(SND)と診断されました。その1年後には嚥下障害が進行したため再入院しましたが、以下はその時のカルテ記載を抜粋したものです。「長谷川式簡易痴呆スケール(HDS)では29点と良く保たれているが、

話をしていてどうも会話が食い違つたり、突然その場にそぐわないことを言つたり、また現実吟味能力が低い印象あり。将来に対する不安や危機感が感じられない」とあります。さらに、リハビリ訓練士の記載でも、「訓練内容はなかなか覚えられない、判断力の低下が疑われる」とありました。この当時患者さんは56歳であり、老年性とも考えられないので高次脳機能をチェックしました。その結果、「慶應式臨床知能検査法(KIP)は48/100点で、即時記憶力、判断力、計算力の低下を認める。WAISでは、動作障害の影響受けにくい課題でも低得点であり、全体的な知的能力の低下」が示唆されました。そしてHDSとのギャップについては、「知識や理解、積み木問題など一般的な知能が多少よいためにHDSではよくでるのかもしれない。検査場面では熱心に課題に取り組み、質問に対する返答も一応的を射た内容であったが、話が通じにくくなると伝える努力を放棄することがある。病識はあるが、身体症状に対しては楽天的な印象を受ける。」という心理評価の結果でした。この時点での頭部CTでは、小脳萎縮は軽度あるものの、大脳についてはほぼ年齢相当と考えられました。この患者さんはこの検査を受けたわずか4ヶ月後に、声帯外転麻痺の悪化のために突然死されました。剖検では、SND優位のMSAに合致した所見でした。もちろん、こうした所見がMSAでみられる一般的な認知障害のパターンとは限らず、自発語が減少したり、抑うつになったりすることもあるれば、全く知的異常を感じない例など、varietyがあると思われます。

MSAにおける大脳萎縮および痴呆を含めた認知障害について、少し文献にあたってみました<sup>2,12)</sup>。そもそも1900年のDejerineらの報告において、脳重が1,020gという記載があり<sup>3)</sup>、1960年のShyらの報告でも前頭葉皮質の神経細胞脱落が指摘されています<sup>13)</sup>。つまり、テント上にも明らかに萎縮があることが既に以前から指摘されていたわけです。日本では小長谷らが精力的にこの問題を取り組んでおり、28例中17例に進行性の前頭葉の萎縮があり、早期から萎縮が強い例あるいは長期間経過後に出現する例がある、と報告しています<sup>6)</sup>。そして、しばしば言語理解が保たれたまま寡黙状態に陥ることから、緩徐進行性の運動性失語と解釈しているようです。Robbinsらは16例の高次脳機能評価を行った結果、最も目立つ所見は思考の遅延化であり、前頭葉性の障害を示したと報告し、その病変主座をfronto-subcortical(fronto-striatal)pathwayに求めています<sup>10)</sup>。一方、平均罹病期間が8.9年と長めにもかかわらず、16例中大脳萎縮を示した例はなかった

という報告もあります<sup>14)</sup>。さらに、Mecoらは、Mini-Mental State Examination(MMSE)が平均25.7と比較的保たれているMSA-P11例において種々な前頭葉機能検査を行った結果、PDと同様大部分の項目で低下していましたが、とくに注意力の障害(Stroop testにて)がMSAではより顕著であったといいます<sup>9)</sup>。多数例の臨床例を検討したWenningの報告では、24%に痴呆を認め、大部分は軽度であったといいます<sup>17)</sup>。しかし、それらの平均罹病期間は比較的短い点に注意する必要があります。本邦からは、Wakabayashiらが全経過14年で、死亡10年前から痴呆があり、5年前からはまったくコミュニケーションがとれず、追視もできなかった例を報告しています<sup>16)</sup>。一方、Horimotoらは、MRIでの検討を行い、age-matched controlと比べますとやはり進行性に大脳萎縮がありますが、病型(MSAのP型、C型)や性差間での相関はなく、罹病期間と相関したといいます<sup>4)</sup>。さらに、Shibuyaらは、病初期から物忘れと見当識障害があり、12年後に死亡した例を報告し、病理学的に左右差のある側頭葉の萎縮を認め、海馬を中心にはPick球とは異なるinclusionを認めた例を報告しています<sup>11)</sup>。Suらは、7例の剖検例全例(中には脳重が950gという例も含まれる)で、motor & supplementary motor areaなどの皮質、白質におけるGCIの出現や小～中等度の錐体細胞の減少を認めています<sup>14)</sup>。彼らによれば、motor cortexの変性はMSAにおける好発障害部位のひとつであり、黒質線条体の障害とともにmotor loop degenerationの一部をなすと述べています。このほかにもMSAでは、記憶力や“higher order”的認知障害がみられたり<sup>1)</sup>、前頭・側頭葉に萎縮を認めるものの、MSAの病型間では大脳萎縮に有意差を認めないとする報告があります。このように、MSAにおける認知障害については最近注目されるようになり、glial cytoplasmic inclusions(GCI)の分布が広範囲に及ぶことからもその責任病巣についてようやく検討されるようになってきたところです。したがって、まだ定説はないようです。

司会 磯崎先生、ありがとうございました。この点について板東先生、ご意見がありましたら追加していただけますか。

板東(神経内科) 発症から10年くらいの症例が30～40例くらいですが、そのデータでは経過年数と認知障害は平行しない、初期と10年くらい経った時であまり変わらないという所見になっています。それから、年齢ともやはり関係しないということになっています。ただ、磯崎先生が引用された文献もありますが、機能障害があつてもうまくそれを捉えられていない

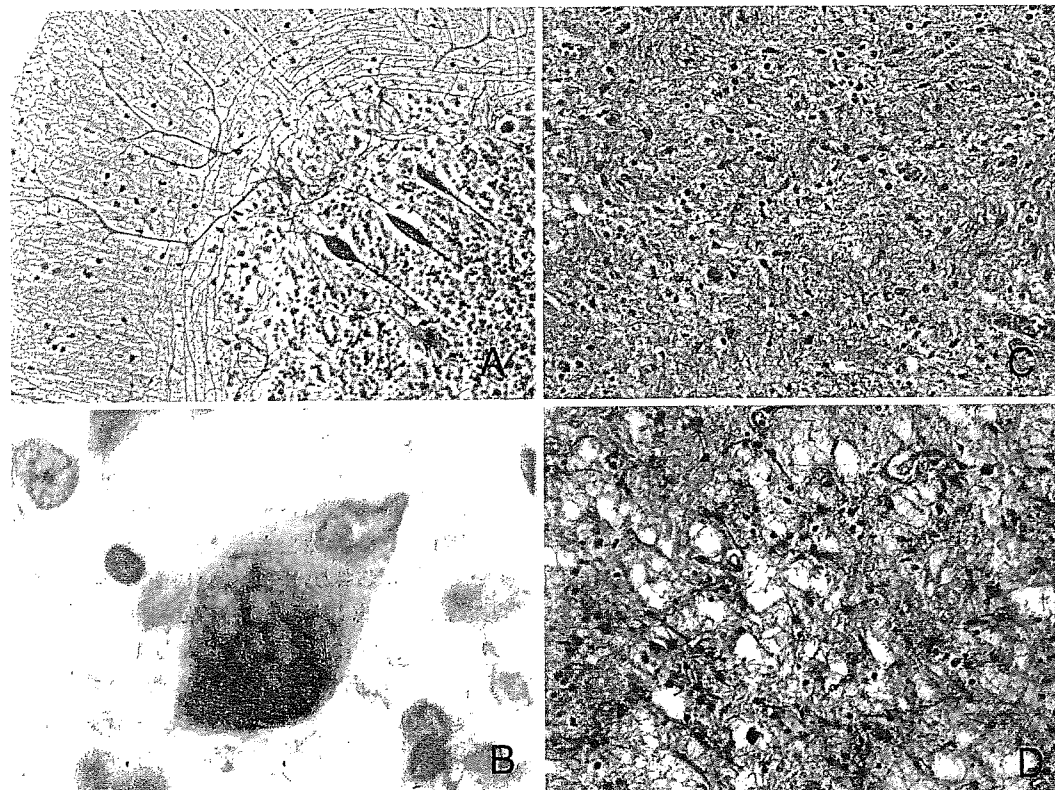


図2 多系統萎縮症 A: 小脳皮質、全罹病期間8.8年にしては多数の torpedo が散在(Bodian染色)、B: 残存した橋核神経細胞にみられた抗tau抗体陽性の封入体、C: 著しい神経細胞の脱落とneuropilの粗鬆化を呈する黒質(HE染色)、D: 微細海綿状態を示す被殻(HE染色)。

いというところがありまして、日本の文献でも研究者によってまちまちです。知的低下に関しては当院の症例では半数くらいに知的低下がありますが、あまり強いものではない。しかし、症例毎に検査の種類が異なったりしていますので、もう少し経過をみる必要があると思いますので、これからの課題ではないかと思います。

司会 ありがとうございました。その他にござりますか。

小森(神經研病理) 中心前回の萎縮はあったと思いますが、古い症例ではCTは難しいでしょうけれど、MRIをご覧になって中心前回の萎縮がないか、目立つという症例は臨床的にはないと思うのですが、いかがでしょう。

磯崎 FLAIR画像でちょうど中心前回のところにわずかに高輝度の所見がみえることがあります。しかし、そういう病初期にあったものが5年、10年経つとひどくなるかというとそうはならないんです。したがって、それらは病変ではないのではないかという気

がします。中心前回の萎縮についてはそういう目でみれば、そろかなと思うものが確かにあるんですが、常にというわけではないのではないかと思います。

司会 ありがとうございました。MSAもいろんな経過をとってくるし、長期にみるといろんなバリエーションがあって、この患者さんが今問題になっている画像所見を含めてMSAの範疇で捉えられるかどうか、という点がどうなのかなと思います。それでは病理の呈示をお願い致します。

#### 病理所見

水谷(検査科病理) 一般臓器では直接死因につながる所見がございません。中枢性の呼吸麻痺が一番考えられると思います。

平井(神經内科) 脳重は1,228gです。小脳・橋底部の萎縮、黒質の脱色素、線条体の萎縮がみられまして、MSAとして問題ありませんが、ご覧のように、両側の中心前回の幅が極端に狭くなっています(図3A)。

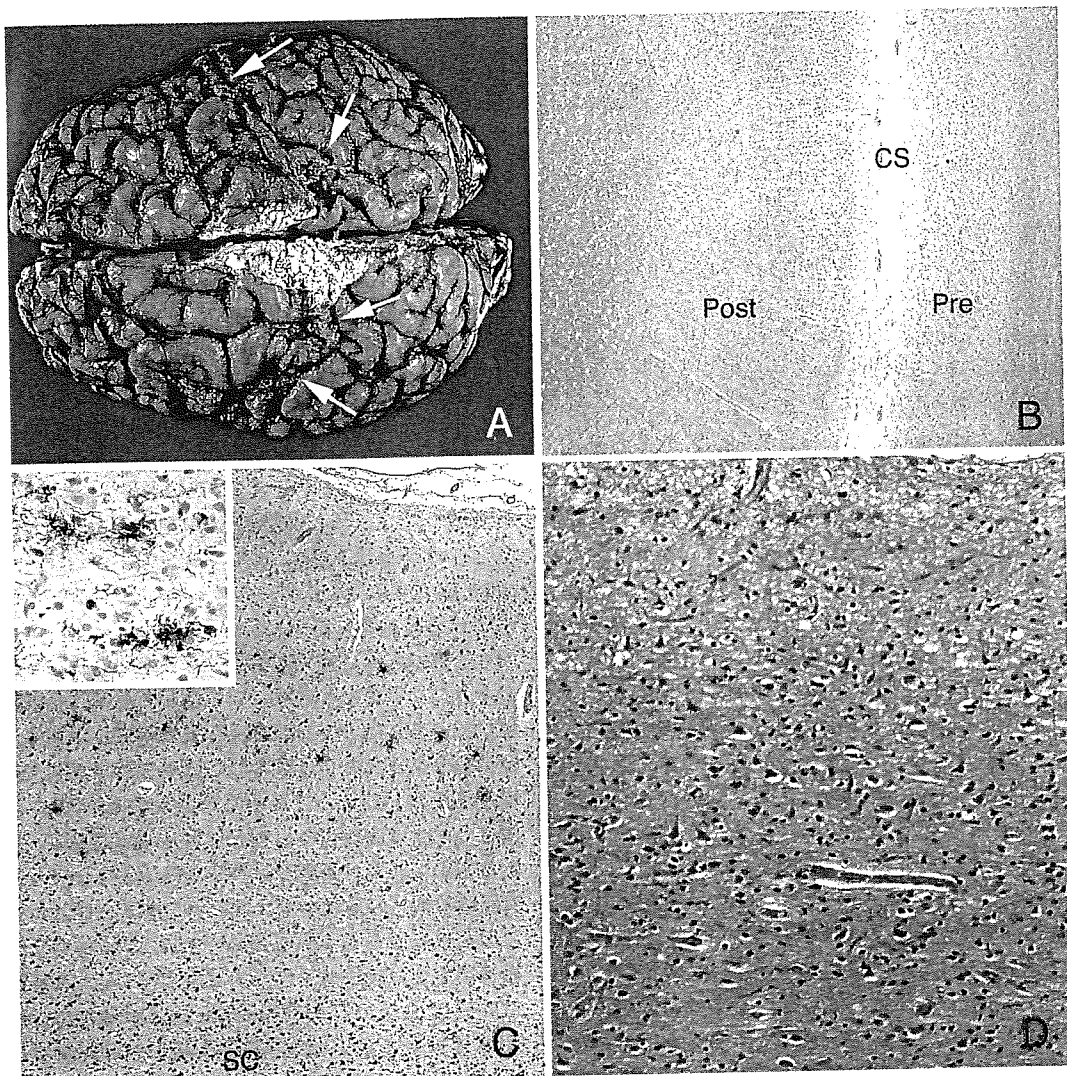


図3 中心前回 A:両側中心前回の著しい萎縮(矢印), B:中心溝(CS)を挟んで中心前回(Pre)が中心後回(Post)の半分以下の厚さになっている(K-B染色), C:皮質にtuft-shaped astrocytes(左上の挿入写真)が層状に分布している。皮質下白質(SC)には無数のGCIがみられる(Gallyas染色), D:皮質の菲薄化とともに神経細胞が高度に脱落している場所が中心前回の一部に認められる(HE染色)。

組織所見も MSA として compatible ですが、小脳皮質では、顆粒細胞層に多数の torpedo がみられたことが注目されます(図 2A)。また、歯状核の神経細胞は比較的保たれていましたが、NFT が 1 個認められました。白質内に GCI が軽度認められました。橋底部では横走線維の脱落が非常に強く、橋核神経細胞は高度に脱落していましたが、残存神経細胞に central chromatolysis 様変化を呈するものが多く観察されました。また、抗リン酸化 tau 抗体で胞体が陽性に染まる細胞もありました(図 2B)。縦束線維の脱落は横走

線維より軽度でしたが、内側の前頭橋路の変性は中等度ないし高度でした。GCI は横走線維よりも縦束内に多数出現していました。下オリーブ核の神経細胞脱落は橋核に比べて軽度でした。

左右の被殻全体が微細海綿状変化を示しており、神経細胞は高度に脱落しています。アストログリアの増殖も高度です(図 2D)。さらに、同様の変化は尾状核腹側部にもみられました。しかし、線条体の GCI はわずかでした。中脳黒質では、色素神経細胞、非色素神経細胞ともに高度に脱落し、基質は粗鬆化しています。

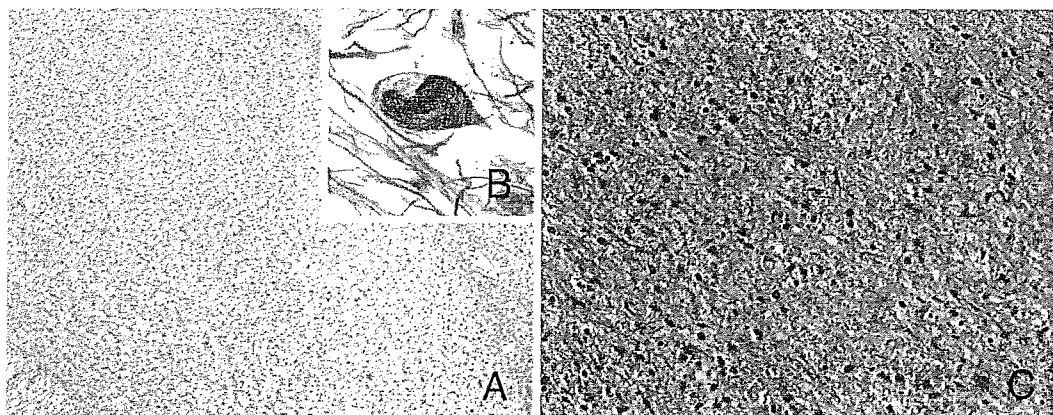


図4 皮質下核 A: 視床下核のボリュームは比較的よく保たれ、神経細胞の脱落はほとんど認められない(K-B染色), B: 視床下核ではNFTをもった神経細胞がみられる(Bodian染色), C: 淡蒼球では被殻病変の二次変性のみとは言いがたい変性とアストログリアの増殖がある(HE染色)。

した(図2C)。GCIが多数認められましたが、Gallyas染色で少量ながら tuft-shaped astrocyte, coiled bodiesがありました。赤核の髓鞘構築と神経細胞は保たれていましたが、GCIよりも tuft-shaped astrocytes, coiled bodiesが多くみられました。動眼神経核はよく保たれていました。

中心前回はその幅が正常の半分ほどに萎縮していく(図3B)、皮質の細胞構築には異常は認められませんでしたが、皮質第2層から3層上部に海綿状態があり、アストログリアのびまん性増殖が第5, 6層で顕著でした。同側の中心前回でも神経細胞の脱落が非常に高度な場所(図3D)と比較的よく残っている場所があり(図3C)、前者ではBetz細胞も脱落していますが、後者では神経細胞の密度が非常に高くなっています、Betz細胞は萎縮していますが残っていました。Balloonned neuronsはありませんでした。同様の変化は、中心前回より前方の上前頭回にもみられました。さらに、これらの皮質に tuft-shaped astrocyte が第3層上部を中心とし層状に出現していました(図3C)。これらはまたAT8染色に陽性でした。中心後回の萎縮は認められませんでしたが、tuft-shaped astrocyte が第3層下部、第4層の上部に多数みされました。中心溝を挟むこれらの領域の皮質下白質から深部白質には無数のGCIが出現し、その多くは抗リン酸化tau抗体染色陽性でした。さらに、GCIに加えて、少数ながら coiled bodies が観察されました。しかし、前頭葉前部、側頭葉、頭頂葉、後頭葉ではごく少数のGCIと coiled bodies が散見される程度で、中心溝付近とは著しく異なっていました。海馬傍回内嗅領皮質の pre- $\alpha$  neuronsには少数のNFTがみられましたが、tuft-shaped astro-

cytesなどは見当たりませんでした。アンモン角にもNFTはみられませんでした。

その他の皮質下核では前障の基質が粗髪化して、アストログリアが軽度増殖していました。GCIも多数出現していました。淡蒼球では基質の粗髪化が強く、神経細胞の脱落があり、線維形成型アストログリアの増殖が高度かつびまん性にみられました(図4C)。有髓線維の減少は内節よりも外節に強いようですが、GCIはわずかでした。視床では明らかな神経細胞の脱落、有髓線維構築の乱れなどはないのですが、GCIはすべての亜核にみられ LP核, DM核, CM核および内髓板核でみられました。とくに CM核および内髓板核では視床亜核のなかで最も多く、tuft-shaped astrocytesも観察されました。視床下核の神経細胞は保たれていましたが(図4A)、アストログリアの増殖が著明で、NFTをもった神経細胞も散見されました(図4B)。しかし、GCIは認められませんでした。

脊髄では、両側外側皮質脊髄路の変性が著明で、左前皮質脊髄路にも変性が認められました。しかし、脊髄小脳路には明らかな変性はありませんでした。

司会 ありがとうございました。非常に興味ある所見を呈示していただきましたが、病理所見に関してご討論をお願いします。

小柳 MSAの病変をまとめると、平井先生が指摘されているように、torpedoがたくさんあり(図2A)、Purkinje細胞が決して消失しているわけではなくburnt-outしていない病変です。オリーブ核の病変も決してburnt-outしてない。ところが黒質と被殻をみると相当病変が強いという(図2C&D)、こういう色合いが残った症例だと思いました。

司会 院長先生、どうぞ。

院長 MSAでGCIが中心前回を含め出現することは前から言わっていました。私はMSAとALSとでは一般的に逆の病変分布をするなと思っていたのですが、MSAのこのGCIの分布だけは仲良しなのでいつも引っかかっていました。この例の中心前回のGCIが非常に多いという分布と、中心前回が半分に萎縮しているということとの関係をお聞きしたい。ALSのようにというのが引っかかるのですが、一般的にはMSAではBetz細胞が落ちないのか、あまり目立たない。これがMSAの病変とすると、オリゴデンドログリアのGCIのinvolvementから二次的にneuronが落ちてきたのですか。

小森 林先生がおっしゃるようにALS的な落ち方をしていますよね、Betz細胞が落ちている。数個しか残っていないかと思います。MSAだけの病変ではこれほどBetz細胞は落ちない。

水谷 皆さん中心前回のBetz細胞が脱落しているとおっしゃるけど、もちろん神経細胞は脱落しています。しかし、もう少しこみていただきたいのですけど、表層は海綿状態があつたりしますが、深層はかなり神経細胞と神経細胞の間が狭まっているんです。つまり非常にneuropilが減少しているわけです。ですから、神経細胞の脱落だけではないと思います。やはり、neuropilが減少するような事態が起きているのだと思いますし、その原因の中には中心前回に入力する神経線維も問題ではないでしょうか。

司会 オリゴデンドログリアと神経細胞脱落の関係について、水谷先生いかがですか。

水谷 GCIとneuronal lossの関係は非常に重要ですね。GCIがneuron全体を脱落させるプロセスなのか、そうではないのか、という話ですから、本質的な問題を突きつけられているわけです。確かにGCIは非常に注目されますが、全体の病理像を考えればやはりneuronが脱落するほうが先ではないでしょうか。その過程でGCIができるてくるのではないでしょうか。

小森 これだけ中心前回に萎縮がある症例を私はあまり見たことがないんですね<sup>5)</sup>。それからMSAの場合、もちろん淡蒼球は二次的にやられるのですが(図4C)、視床下核は保たれるのが普通だと思います。しかし、この例の細胞脱落は非常に軽いのですが、明瞭にグリオーシスがある。それはちょっとMSAだけでは説明つかなくて、やはり軽いけども視床下核にも1+の病変をとってもいいんじゃないかなと思います(図4A)。さらに、Alzheimer神経原線維変化(NFT)が視床下核と黒質に少量ですけどございました(図4B)。それか

ら進行性核上性麻痺(PSP)としてもちょっと合わないのは、全体として歯状核はよく保たれていることです。NFTも一つか二つ、それくらいしかないと私はいます。歯状核がPSPでやられなくてもいいという説もありますけど、私、個人的にはかなり重要な所見だと思っています。グリアの病変についてみると、GCIは白質優位で、かつ中心前回に相対的に優位であるというのは文献的によく知られたことですが、通常は先ほど申し上げたように中心前回が痩せてくるということはないわけです。そこで、この症例では多くのtuft-shaped astrocytesが中心前回にある、それ以外にも被殻は焼け跡になっているので見にくいのですが、尾状核をみると多数のtuft-shaped astrocytesがあって、GCIも共存している。それから視床下核にはNFTに加えてcoiled bodiesがある。そして小脳は白質の病変が主で、これはMSAの特徴でそこにGCIがあるということになりますので、最終診断が臨床病理診断ということになればMSAが主体であることに間違いないと思いますが、これだけ中心前回がやられた症例がないということを考え併せますとやはりプラスαの病変、PSP的な病変があったのではないかと思います。

内原 視床下核とか黒質にもtau pathologyがあるというご指摘ですが、脳幹以下をみるとそのPSPでみるとやはりたきりしたtangleが出ている病変は少なくともないんじゃないかな。で、PDでもPSPでもそうですが、脳幹にしっかりした病変があって、それに大脳病変があるという捉え方で病理は進んできたと思うのです。PSPの場合は脳幹になくて大脳皮質病変があるというのはないんじゃないかな。どうでしょう。つまり、基本病変として脳幹にはたきりしたNFTを作る病変があるというのがPSPの概念であって、もしこの例からMSAの病理所見を除いたとしたら、こういうPSPがあるでしょうか。本例の大脳皮質のglia pathologyについてはPSPに類似の所見があるという言い方だろうと思います。むしろ、なぜ脳幹のほうに出ないのかということが問題になると思うんですけど。

小森 あくまで細胞レベルでみれば、synucleopathyが主体にあって、そこに間違いないtauopathyがある、それは從来知られている範囲では、PSPとして矛盾がない。グリアの病理もPSPとして矛盾がないけれども、診断基準を満たすには無理があると思います。先生がおっしゃられるようにMSAとPSPの合併というのはもちろん避けたほうがいいと思います。ただし、先ほどお話ししたように中心前回の変化が病理をみる限りでは一番強く、それをなぜかと考えたときにそこにtauopathyがあるわけだから、やはり中心

前回の変化が強調された原因の一つとして tauopathy を無視するわけにはいかないと思います。それから、CPC のレポートに PSP と CBD の部分症状と書いてありますが、CBD の所見はまったくないと思いますけど。

水谷 確かに ballooned neuron はありませんね。しかし、CBD で最も重要な所見は中心溝を挟む領域が選択的に萎縮することです。なぜ、CBD では中心前回を含む領域が変性・萎縮するのか、そこが CBD の最も本質的な変化です。そして、その所見が本例にあるのです。さらに申し上げるならば、PSP でもこの領域に変性が強調される症例があるのはご存知だと思います。つまり、本例は MSA, PSP, CBD の非常に重要な病変が中心前回に会合しているといえるのではないかでしょうか。

司会 では、小柳先生。

小柳 私はちょっと違う見方をしました。本例の所見をみても  $\alpha$  synuclein と tau というのは仲がいいんだなあと感じた次第です。 $\alpha$  synuclein と tau の immunohistochemistry が出てきて初めて、実は Alzheimer 病と Lewy 小体病がお互い相互乗り入れがあることが分かりました。Alzheimer 痘だけではなくて tangle しか出てこない Guam 島の Parkinsonism-demenita でも扁桃体で 1 個の細胞の中に  $\alpha$  synuclein と tau が同居するのです。 $\alpha$  synuclein と tau の topography には若干違いがあったりしますが、同じ一つの脳という大きな目でみれば仲がいいということを、私たちは Alzheimer 痘や痴呆を伴う Parkinson 痘、Lewy 小体病、MSA などで最近になって知りました。過去に、PSP と MSA の合併例があるそうですが、本例がそうであるかという検討は不可欠でしょうが、見方を変えてこんな  $\alpha$  synuclein と tau の合併例があるということを本日勉強したんだと思います。で、あるいは今後、こういうような症例の  $\alpha$  synuclein と tau の仲のいい症例というのが出てくる可能性がある、その皮切りのような症例なのか、という気がしました。

司会 望月先生、本例に病理学的に類似した症例に関して文献的にはどうなんでしょうか。

望月 若林先生の症例<sup>16)</sup>と小長谷先生の症例<sup>7,8)</sup>に前頭葉の萎縮があったと記載されていますが、本例のように中心前回に強調されるような萎縮ではありません。その両例ともやはり運動関連領域、中心前回と上前頭回に皮質の変性があり、やはり皮質の幅が薄くなっています、深層にグリアが増殖していて、神経細胞脱落があるということで、その点に関しては、本例と共に通っています。変性部位に GCI がでているということです。

MSA に関連したものということです。さらに、若林先生の症例では白質にも変化が強くて、より広範囲に GCI があるということで、白質にも primary な病変があるのではないかと記載されています。しかし、小長谷先生の症例では MRI で 3 年目くらいに萎縮が捉えられているので、なかには早くから萎縮した例があるのでないかと言われています。MSA で tuft-shaped astrocytes があったという報告は高梨先生だけで<sup>15)</sup>、そこでは MSA と PSP の合併として記載されています。

水谷 当院の MSA 剖検例のうち、無酸素脳症の病変がある患者さんを除きますと、38 例の大脳皮質を評価できます。それで、マクロ的に中心前回が萎縮している 3 例では、組織学的には中心前回の病変は本例と非常によく似ています。ですから、けいれんによる派生的な病変が修飾しているのではなくて、恐らく本質的な病変だろうと思います。それから、経過が長い症例ほど前頭葉も中心前回も萎縮していますけど、本例の 8.8 年というのは当院では短いほうですから、必ずしも罹病期間が長いから萎縮するというものではなさそうです。もう一つは、前頭葉の萎縮との関係ですが、中心前回だけがとくに強調されているわけではない例と、本例のように中心前回が非常に強調されている場合の 2 種類あるようです。ですから、中心前回が萎縮するプロセスと前頭葉全体が萎縮するのとは違うのではないか、というような視点も必要かと思います。

院長 臨床的な面からみてみると、いわゆる P 型 MSA の眼球運動障害は PSP に類似しています。SND の parkinson 症状に vertical から involve される眼球運動が加わって、症候学的に PSP に類似した面を持っているという気がしています。しかし、今までこの臨床面での類似性は病理学的には別の疾患ということで、非常に離れているところがあったように思います。そういう視点では MSA と PSP、とくに SND と PSP との連続性はこのような病理像を介してつながりが確かめられたのではないかと思いました。今後、病理という視点を超えて、これらの疾患間に共通する機能構造が何か detect できれば面白いと思います。

司会 ありがとうございました。本例は臨床的には MSA-P 型に近い経過であったと思いますが、MRI や脳血流シンチで捉えられた中心前回に強調された前頭葉萎縮が病理学的にも証明されました。また、病理学的に中心溝を挟む領域に MSA の GCI と、PSP の tuft-shaped astrocytes が共存しており、病巣形成を考える上でも非常に興味ある貴重な症例だと考えられました。まだ、ご意見があるとは思いますが、かなり時間が押していますので、このあたりで CPC を終わり

たいと思います。

### 文 献

- 1) Berent S, Giordani B, Gilman S, Trask CL, Little RJ, Johanns JR, Junck L, Klun KJ, Heumann M, Koeppen RA : Pattern of neuropsychological performance in multiple system atrophy compared to sporadic and hereditary olivopontocerebellar atrophy. *Brain Cong* 50 : 194-206, 2002
- 2) Cummings JL : Fronto-subcortical circuits and human behavior. *Arch Neurol* 50 : 873-880, 1993
- 3) Dejerine J, Thomas A : L'atrophie olivo-ponto-cérébelleuse. *Nouv Iconog Salpetriere* 13 : 330-370, 1900
- 4) Horimoto Y, Aiba I, Yasuda T, Ohkawa Y, Katayama T, Yokokawa Y, Goto A, Ito Y : Cerebral atrophy in multiple system atrophy by MRI. *J Neurol Sci* 173 : 109-112, 2000
- 5) Ishizawa K, Komori T, Sasaki S, Arai N, Mizutani T, Hirose T : Microglial activation parallels system degeneration in multiple system atrophy. *J Neuropathol Exp Neurol* 63 : 43-52, 2004
- 6) 小長谷正明, 松岡幸彦, 小長谷陽子 : 多系統萎縮症における大脳萎縮経過のMRIにおける定量的検討。臨床神経 42 : 118-125, 2002
- 7) Konagaya M, Konagaya Y, Sakai M, Matsuoka Y, Hashizume Y : Progressive cerebral atrophy in multiple system atrophy. *J Neurol Sci* 195 : 123-127, 2002
- 8) Konagaya M, Sakai M, Matsuoka Y, Konagaya Y, Hashizume Y : Multiple system atrophy with remarkable frontal lobe atrophy. *Acta Neuropathol (Berl)* 97 : 423-428, 1999
- 9) Meco G, Gasparini M, Dorianchi F : Attentional functions in multiple system atrophy and Parkinson's disease. *J Neurol Neurosurg Psychiatry* 60 : 393-398, 1996
- 10) Robbins TW, James M, Lange KW, Owen AM, Quinn NP, Marsden CD : Cognitive performance in multiple system atrophy. *Brain* 115 : 271-291, 1992
- 11) Shibuya K, Nagatomo H, Iwabuchi K, Inoue M, Yagishita S, Itoh Y : Asymmetrical temporal atrophy with massive neuronal inclusions in multiple system atrophy. *J Neurol Sci* 179 (S1-2) : 50-58, 2000
- 12) Schulz JB, Klockgether T, Petersen D, Jauch M, Müller-Schäufenberg W, Spieker S, Voigt K, Dichgans J : Multiple system atrophy : natural history, MRI morphology, and dopamine receptor imaging with 123-I-BZM-SPECT. *J Neurol Neurosurg Psychiatry* 57 : 1047-1056, 1994
- 13) Shy GM, Drager GA : A neurological syndrome associated with orthostatic hypotension. *Arch Neurol* 2 : 511-527, 1960
- 14) Su M, Yoshida Y, Hirata Y, Watahiki Y, Nagata K : Primary involvement of the motor area in association with the nigrostriatal pathway in multiple system atrophy : neuropathological and morphometric evaluations. *Acta Neuropathol (Berl)* 101 : 57-64, 2001
- 15) Takanashi M, Ohta S, Matsuoka S, Mori H, Mizuno Y : Mixed multiple system atrophy and progressive supranuclear palsy : a clinical and pathological report of one case. *Acta Neuropathol (Berl)* 103 : 82-87, 2003
- 16) Wakabayashi K, Ikeuchi T, Ishikawa A, Takahashi H : Multiple system atrophy with severe involvement of the motor cortical areas and cerebral white matter. *J Neurol Sci* 156 : 114-117, 1998
- 17) Wenning GK, Jager R, Kendall B, Kingsley D, Daniel SE, Quinn NP : Is cranial computed tomography useful in the diagnosis of multiple system atrophy? *Mov Disord* 9 : 333-336, 1994

### MEDICAL BOOK INFORMATION

医学書院

<シリーズ ケアをひらく>

## 死と身体

コミュニケーションの磁場

内田 樹

●A5 頁248 2004年  
定価2,100円(本体2,000円+税5%)  
[ISBN4-260-33366-6]

コミュニケーションはくことばの外にある。病んだ人の前に立つとすぐわかる。身体の声が聞こえるから。ときには死者でさえも語りかけてくるから――。「誰もが感じていて、誰も言わなかつたことを、誰にでもわかるように語る」著者の、教科書には絶対出ていないコミュニケーション論。

## **High glucose-induced activation of the polyol pathway and changes of gene expression profiles in immortalized adult mouse Schwann cells IMS32**

Kazunori Sango<sup>1</sup>, Takeshi Suzuki<sup>2</sup>, Hiroko Yanagisawa<sup>1</sup>, Shizuka Takaku<sup>1</sup>, Hiroko Hirooka<sup>2</sup>, Miyuki Tamura<sup>2</sup> and Kazuhiko Watabe<sup>3</sup>

Departments of <sup>1</sup>Developmental Morphology and <sup>3</sup>Molecular Neuropathology, Tokyo Metropolitan Institute for Neuroscience, Fuchu, Tokyo 183-8526, Japan,

<sup>2</sup>Pharmaceutical Research Laboratories, Sanwa Kagaku Kenkyusho Co. Ltd., Japan

Address proofs and correspondence to:

Kazunori Sango

Department of Developmental Morphology, Tokyo Metropolitan Institute for Neuroscience, 2-6 Musashidai, Fuchu, Tokyo 183-8526, Japan

TEL: 81-42-325-3881

FAX: 81-42-321-8678

E-mail: [kazsango@tmin.ac.jp](mailto:kazsango@tmin.ac.jp)

*Abbreviations used:* AKR, aldo-keto reductase; ANGPTL4, angiopoietin-like 4; AR, aldose reductase; DRG, dorsal root ganglia; Evi3, ecotropic viral integration site 3; GSH, reduced glutathione; MB, methylene blue; NO, nitric oxide; p75<sup>NTR</sup>, p75 low affinity NGF receptor; SAA3, serum amyloid A3; SDH, sorbitol dehydrogenase; SDS-PAGE, sodium dodecyl sulfate-polyacrylamide gel electrophoresis.